

Letzte Aktualisierung der Informationen: Januar 2025

Produktkonfiguration: QV68

QV68: Strahler Robin Ø62 für Niederspannungsschiene 48V - DALI



Produktcode

QV68: Strahler Robin Ø62 für Niederspannungsschiene 48V - DALI

Beschreibung

Miniaturisierter schwenkbarer Strahler, komplett mit Adapter für die Installation an Niedervolt-Stromschiene (48V). Gefertigt aus Aluminiumdruckguss mit passivem Wärmeableiter. Zum Adapter aus Thermoplast gehören ein Schaltkreis DC/DC-Driver mit Dimmfunktion DALI Power Line. Mithilfe der integrierten Technologie „Power Line“ können die an der Schiene installierten Strahler einzeln reguliert werden. Dank der Strahlergelenke ist eine Drehung um 360° und Neigung um 160° möglich; der Einbau des Strahlers auf 48V-Schiene kann sowohl in „Up“ wie in „Down“-Position erfolgen. Die zurückgesetzte optische Einheit garantiert den hohen Sehkomfort. Die hochauflösende Linse aus Thermoplast mit der Möglichkeit des Einsatzes zusätzlichen Zubehörs garantiert weitere Lichteffekte. Schnellanschluss-System für den werkzeuglosen elektrischen und mechanischen Anschluss des Adapters an der Schiene. Vorrichtung zum Einhängen an 48V-Schiene mit doppelter Sicherheitsarretierung für Fallschutz.

Installation

Werkzeuglose mechanische Befestigung mit Adapter an 48V-Schiene

Farben

Weiß (01) | Schwarz (04)

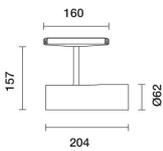
Gewicht (Kg)

0.75

Verkabelung

DC/DC-Treiber mit Dimmfunktion DALI Power Line - direkter Anschluss an 48V-Schiene. Die Versorgungseinheit der Schiene ist separat zu bestellen.

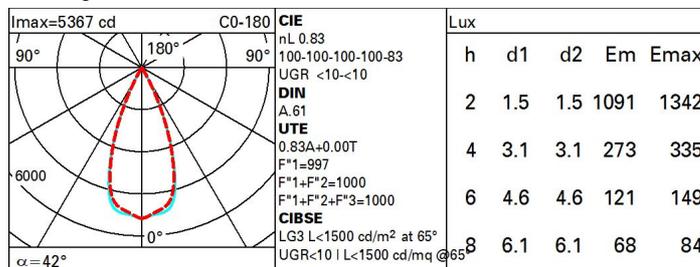
Gemäß der Normen EN60598-1 u. Sondernormen



Technische Daten

| | | | |
|---|------|-------------------------|--|
| Im System: | 2407 | Lebensdauer LED 1: | > 50,000h - L80 - B10 (Ta 25°C) |
| W System: | 25.9 | Eingangsspannung [V]: | 48 |
| Im Lichtquelle: | 2900 | Lampencode: | LED |
| W Lichtquelle: | 24 | Anzahl Lampen in | 1 |
| Lichtausbeute (lm/W, Systemwert): | 92.9 | Leuchtengehäuse: | ZVEI-Code: LED |
| Im im Notlichtbetrieb: | - | Anzahl Leuchtengehäuse: | 1 |
| abgegebener Lichtstrom bei/ über einem Winkel von 90° [lm]: | 0 | Leistungsfaktor: | Sehen Montageanleitung |
| Leuchtenbetriebswirkungsgrad 83 (L.O.R.) [%]: | | Minimaler Dimmwert %: | 5 |
| Abstrahlwinkel [°]: | 42° | Überspannungsschutz: | 2kV Gleichtaktspannung und 1kV Gegentaktspannung |
| CRI (minimum): | 90 | Dimm-Methode: | CCR |
| Farbtemperatur [K]: | 4000 | Control: | DALI |
| MacAdam Step: | 2 | | |

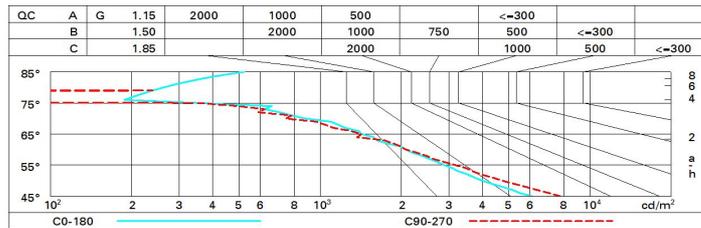
Polardiagramm



Wirkungsgrad

| R | 77 | 75 | 73 | 71 | 55 | 53 | 33 | 00 | DRR |
|------|----|----|----|----|----|----|----|----|-----|
| K0.8 | 75 | 71 | 68 | 66 | 70 | 68 | 68 | 65 | 78 |
| 1.0 | 78 | 75 | 72 | 70 | 74 | 72 | 71 | 69 | 83 |
| 1.5 | 82 | 79 | 77 | 76 | 79 | 77 | 76 | 74 | 89 |
| 2.0 | 85 | 83 | 81 | 80 | 82 | 80 | 79 | 77 | 93 |
| 2.5 | 86 | 85 | 84 | 83 | 84 | 83 | 82 | 79 | 96 |
| 3.0 | 87 | 86 | 85 | 85 | 85 | 84 | 83 | 81 | 98 |
| 4.0 | 88 | 87 | 87 | 86 | 86 | 86 | 84 | 82 | 99 |
| 5.0 | 89 | 88 | 88 | 88 | 87 | 86 | 85 | 83 | 100 |

Söllner-Diagramm



UGR-Diagramm

| Corrected UGR values (at 2900 lm bare lamp luminous flux) | | | | | | | | | | | |
|---|------|------------------|------|------|------|------|----------------|------|------|------|------|
| Reflect.: | | viewed crosswise | | | | | viewed endwise | | | | |
| ceiling/cav | | 0.70 | 0.70 | 0.50 | 0.50 | 0.30 | 0.70 | 0.70 | 0.50 | 0.50 | 0.30 |
| walls | | 0.50 | 0.30 | 0.50 | 0.30 | 0.30 | 0.50 | 0.30 | 0.50 | 0.30 | 0.30 |
| work pl. | | 0.20 | 0.20 | 0.20 | 0.20 | 0.20 | 0.20 | 0.20 | 0.20 | 0.20 | 0.20 |
| Room dim | | | | | | | | | | | |
| x | y | | | | | | | | | | |
| 2H | 2H | 7.0 | 7.5 | 7.2 | 7.7 | 8.0 | 7.3 | 7.9 | 7.6 | 8.1 | 8.3 |
| | 3H | 6.9 | 7.4 | 7.2 | 7.6 | 7.9 | 7.2 | 7.7 | 7.5 | 8.0 | 8.2 |
| | 4H | 6.8 | 7.3 | 7.1 | 7.5 | 7.8 | 7.1 | 7.6 | 7.5 | 7.9 | 8.2 |
| | 6H | 6.7 | 7.1 | 7.1 | 7.4 | 7.8 | 7.0 | 7.5 | 7.4 | 7.8 | 8.1 |
| | 8H | 6.7 | 7.1 | 7.0 | 7.4 | 7.7 | 7.0 | 7.4 | 7.4 | 7.7 | 8.1 |
| | 12H | 6.6 | 7.0 | 7.0 | 7.4 | 7.7 | 7.0 | 7.4 | 7.3 | 7.7 | 8.1 |
| 4H | 2H | 6.8 | 7.3 | 7.1 | 7.5 | 7.8 | 7.1 | 7.6 | 7.4 | 7.9 | 8.2 |
| | 3H | 6.7 | 7.1 | 7.0 | 7.4 | 7.8 | 7.0 | 7.4 | 7.4 | 7.7 | 8.1 |
| | 4H | 6.6 | 6.9 | 7.0 | 7.3 | 7.7 | 6.9 | 7.3 | 7.3 | 7.6 | 8.0 |
| | 6H | 6.5 | 6.8 | 6.9 | 7.2 | 7.6 | 6.8 | 7.1 | 7.3 | 7.5 | 7.9 |
| | 8H | 6.5 | 6.7 | 6.9 | 7.1 | 7.6 | 6.8 | 7.1 | 7.2 | 7.5 | 7.9 |
| | 12H | 6.4 | 6.7 | 6.9 | 7.1 | 7.5 | 6.7 | 7.0 | 7.2 | 7.4 | 7.9 |
| 8H | 4H | 6.5 | 6.7 | 6.9 | 7.1 | 7.6 | 6.8 | 7.1 | 7.2 | 7.5 | 7.9 |
| | 6H | 6.4 | 6.6 | 6.8 | 7.0 | 7.5 | 6.7 | 6.9 | 7.2 | 7.4 | 7.8 |
| | 8H | 6.3 | 6.5 | 6.8 | 7.0 | 7.5 | 6.6 | 6.8 | 7.1 | 7.3 | 7.8 |
| | 12H | 6.3 | 6.4 | 6.8 | 6.9 | 7.4 | 6.6 | 6.8 | 7.1 | 7.2 | 7.8 |
| 12H | 4H | 6.4 | 6.7 | 6.9 | 7.1 | 7.5 | 6.7 | 7.0 | 7.2 | 7.4 | 7.9 |
| | 6H | 6.3 | 6.5 | 6.8 | 7.0 | 7.5 | 6.6 | 6.8 | 7.1 | 7.3 | 7.8 |
| | 8H | 6.3 | 6.4 | 6.8 | 6.9 | 7.4 | 6.6 | 6.8 | 7.1 | 7.2 | 7.8 |
| Variations with the observer position at spacing: | | | | | | | | | | | |
| S = | 1.0H | 6.3 / -8.7 | | | | | 6.2 / -8.8 | | | | |
| | 1.5H | 9.1 / -10.8 | | | | | 9.0 / -11.3 | | | | |
| | 2.0H | 11.1 / -12.5 | | | | | 11.0 / -13.4 | | | | |